

## ΥΔΡΟΓΕΩΛΟΓΙΚΕΣ ΣΥΝΘΗΚΕΣ ΚΑΙ Η ΠΑΡΟΥΣΙΑ ΝΟ<sub>3</sub> ΣΤΑ ΥΠΟΓΕΙΑ ΝΕΡΑ ΤΗΣ ΑΣΤΙΚΗΣ ΚΑΙ ΠΕΡΙΑΣΤΙΚΗΣ ΖΩΝΗΣ ΤΗΣ ΚΑΛΑΜΑΤΑΣ\*

Π. ΣΑΜΠΑΤΑΚΑΚΗΣ<sup>1</sup>, Π. ΓΑΪΤΑΝΑΚΗΣ<sup>1</sup>, Β. ΖΟΡΑΙΑΣ<sup>1</sup>

### ΣΥΝΟΨΗ

Η έρευνα πραγματοποιήθηκε στα πλαίσια των υδρογεωλογικών προγραμμάτων του ΙΓΜΕ από το Α' και Β' Κ.Π.Σ.

Η περιοχή ενδιαφέροντος περιλαμβάνει την αστική και περιαστική ζώνη της πόλης της Καλαμάτας.

Για τις ανάγκες των εργασιών, χρησιμοποιήθηκε ένας πάνωβος υδροστημείων αριθμού πυνάς (116), αποτελούμενος από υδρογεωτύπες, φρέατα και θερετικές δειγματοληψίες επιφανειακών νερών. Από τα υδροστημένα αυτά ελήφθησαν σε τακτά χρονικά διαστήματα δείγματα νερού για ποιοτικό έλεγχο και πραγματοποιήθηκαν μετρήσεις στάθμης στους υπόγειους υδροφόρους.

Το μεγαλύτερο τμήμα της περιοχής έρευνας δομείται από Τεταρτογενείς αποθέσεις και Νεογενείς σχηματισμούς. Ενώ στα βόρεια και ανατολικά περιλαμβάνει της περιοχής κυριαρχούν οι σχηματισμοί της Ζώνης Τρίπολης και της Ζώνης Πίνδου Ολονού.

Τα στοιχεία των υδροχημικών αναλύσεων αποδεικνύουν ότι στα υπόγεια νερά της αστικής ζώνης της Καλαμάτας η παρουσία των NO<sub>3</sub> είναι πάρα πολύ έντονη, πολλαπλάσια του ανώτατου ορίου των 50 mg/l. Αντίθετα η παρουσία των δύο άλλων δεικτών ωπανσής του αζώτου, NH<sup>+</sup>, και NO<sub>2</sub>, είναι σχεδόν ανήπαυπτη.

Συνδυάζοντας αυτά τα υδροχημικά στοιχεία με τις υδρογεωλογικές δομές της περιοχής ενδιαφέροντος, συμπεραίνεται ότι η προέλευση των NO<sub>3</sub> συνδέεται με αστικά λύματα (απορροφητικού βόθρου, απόλεις του δικτύου αποχέτευσης). Το γεγονός ότι η υδροφορία αναπτύσσεται σε μικρό βάθος βοηθά στο να δημιουργείται ένα έντονο οξειδωτικό υδροχημικό περιβάλλον. Παράλληλα οι περιοδισμένες αντλήσεις υπόγειων νερών στην αστική περιοχή δεν διευκολύνει τις διεργασίες απονίτωσης και εξαερισμού. Η απουσία NO<sub>2</sub> και NH<sup>+</sup> υποδηλώνει ότι η είσοδος των ωπανών αζωτούχων ενώσεων στο υπόγειο νερό γίνεται σε μικρό βάθος όπου αφθονεί το οξυγόνο.

### ABSTRACT

The present investigation was carried out within the frames of the hydrogeological projects of IGME funded by the first and second EU Framework Supporting Programs. The area of interest includes the urban and regional zone of Kalamata city.

During the project implementation, a dense net of water points (116) was used consisting of water boreholes, wells and surface water sampling points. Water samples were collected from the above water points in regular time periods in order to proceed to the water qualitative control. Moreover, water level measurements were also conducted into the aquifers.

The greatest part of the area under study is structured of Quaternary deposits and Neogene formations, while formations of the Tripolis and Olympos – Pindos zones prevail in the north and eastern margins of the area.

The data obtained from the hydrochemical analyses suggest very high values of NO<sub>3</sub> into the groundwater of the urban zone of Kalamata city, exceeding the maximum limits of 50 mg/l. Conversely, the values of NH<sup>+</sup> and NO<sub>2</sub> are negligible.

Combining the above hydrochemical data with the hydrogeological structures occurring at the under study area, we can conclude that the origin of NO<sub>3</sub> is connected to the urban wastes (sewers, leakages from the sewage net), given that the water develops in small depth under the surface thus creating a highly oxidizing hydrochemical environment. In parallel, abduction of nitrogen and ventilation conditions are not favoured by the restricted groundwater pumping in the urban areas.

The absence of NO<sub>2</sub> and NH<sup>+</sup> indicates that the intrusion of polluting nitrogen compounds into the groundwater takes place in small depth below the surface where oxygen is abundant.

\* HYDROGEOLOGICAL CONDITIONS AND PRESENCE OF NO<sub>3</sub> INTO THE GROUNDWATER OF THE URBAN AND REGIONAL ZONE AT THE AREA OF KALAMATA. Η Ελληνική Βιβλιοθήκη "Θεόφραστος" - Τμήμα Γεωλογίας, Α.Π.Θ.

1. ΙΓΜΕ ΜΕΣΟΓΕΙΩΝ 70 ΑΘΗΝΑ - IGME MESOGHION 70 ATHENS

**ΑΞΕΣΙΣ ΚΛΕΔΙΑ:** αστική ζώνη, αλλοιουβιαζές - πλειστοκανικές αποθέσεις, λίμανα, απονίτρωση

**KEY WORDS:** urban zone, alluvium – pleistocene deposits, urban wastes, denitrification

## 1. ΕΙΣΑΓΩΓΗ

Η έρευνα αυτή πραγματοποιήθηκε σε δύο φάσεις, στα πλαίσια των ερευνητικών υδρογεωλογικών προγραμμάτων του ΙΓΜΕ, με χρηματοδότηση από το Α' και Β' Κ.Π.Σ.

Οι χρονικές περίοδοι κατά τις οποίες αναπτύχθηκαν οι εργασίες υπαίθρου και εργαστηρίων ήταν δύο: 1992-93 και 1995-96. Συγκεκριμένα οι εργασίες υπαίθρου πραγματοποιήθηκαν προς το τέλος της ξηρής περιόδου (δηλ. Σεπτέμβριο - Οκτώβριο) και στο μέσον της υγρής περιόδου (δηλ. Δεκέμβριο - Ιανουάριο).

Χρηματοδοτήθηκε ένας κάναβος 113 υδροσημείων για τη συλλογή στοιχείων στην ευρύτερη περιοχή Καλαμάτας. Τα υδροσημεία αυτά αποτελούνταν από υδρογεωτορήσεις, φρέσα και θέσεις επιφανειακών απορροών.

Από τον κάναβο αυτό των υδροσημείων ελήφθησαν δεδήματα νερού και πραγματοποιήθηκαν σταθμητογέρμησης την ίδια περίοδο (Οκτώβριο και Δεκέμβριο 1992, Σεπτέμβριο 1995 και Ιανουάριο 1996). Σε ένα μόνο περιορισμένο αριθμό υδροσημείων τα οποία βρίσκονται ανατολικά της Καλαμάτας, οι μετρήσεις και οι δειγματοληψίες πραγματοποιήθηκαν την περίοδο 1996 - 97.

Το χρονικό διάστημα, στη διάρκεια του οποίου εκτελούνταν οι εργασίες υπαίθρου την κάθε φορά ήταν διάρκειας 5 ημερών.

Το γεγονός ότι εντός της αστικής ζώνης της Καλαμάτας εντοπίστηκαν πολλά φρέσα και υδρογεωτορήσεις, απόμα και εντός υπογείων σε κτίρια, επέτρεψε τη δημιουργία ενός πυχνότατου δικτύου σταθμών από υδροσημεία των οποίων οι μεταξύ τους αποστάσεις κατά μέσο όρο δεν ξεπερνούσαν τα 500 μ., τουλάχιστον εντός της αστικής ζώνης.

## 2. ΓΕΩΛΟΓΙΚΑ ΣΤΟΙΧΕΙΑ

Η περιοχή έρευνας βρίσκεται στο ανατολικό τμήμα του Μεσσηνιακού Κόλπου, ο οποίος με τη σειρά του οριοθετείται από τη Χερσόνησο της Μάνης προς Α και αντί της Πυλίας προς τα Δ. Πρόκειται για μια τετρανήσια τάφρο που χαρακτηρίζεται από έντονη μεταλλική τεκτονική δράση, η οποία άρχισε στο Μ. Πλειστούνιο (MARIOLAKOS, FOUNTOULIS, LOGOS, LOZIOS - 1989). Μετά το τέλος αυτής της περιόδου συνεχίστηκε εντονότερη με κατικόρυφες κινήσεις και πλήθος κλιμασιοτόνων μεταπτώσεων προς το εισητερικό της. Το γεγονός αυτό είχε σαν αποτέλεσμα τη δημιουργία ρηγματογενών θαλάσσιων και τη σεισμική τους δράση με απορροφημένα αυτή στις 13-9-1986 όπου ενεργοποιήθηκαν οι ζώνες Νέδωνα - Κορώνης - Αλαγονίας και Κυπαρισσίας. Αρεόπολης (FYTROLAKIS, N., 1987).

Το περιθώριο της τάφρου αποτελείται από σχηματισμούς του Αλπικού Ορογενεύς, οι οποίοι ως αντόνομες γεωτεκτονικές ενότητες συγχροτούν και την πολύπλοκη τεκτονική δομή της οροσειράς του Ταϊγέτου και είναι η ενότητα της Μάνης, η φυσιλιτική ενότητα, η ενότητα Τριπολής - Γαφρόβου και η ενότητα Ολονού - Πίνδου.

Η ευρύτερη περιοχή έρευνας (αστική και περιαστική ζώνη Καλαμάτας) δομείται κύρια από τους Μεταλπικούς σχηματισμούς (ΨΩΝΗΣ, K., 1983) που είναι οι παρακάτω (σχ. 1):

- Άλλοιουβιαζές αποθέσεις, στις οποίες επικρατούν αωνόδετα ιώλικά από ρηγολίτες, λατάπες, γκαλίκια, αργίλους και άμμους.
- Πλειστοκανικές αποθέσεις πορεοχρόμενες κυρίως από ιώλικά διαβρωτικών διεργασιών στα πετρώματα του υποβάθρου και τα οποία μέσω των ποταμών Νέδωνα και των άλλων χειμάρρων, μεταφέρθηκαν στις χαμηλότερες περιοχές της λεκάνης της πόλης. Αποτελούνται κύρια από κόρκυνες - καπιτανές αιγαίλους και αιγιλούχους άμμους, με παρεμβολές ρηγολιόπαγχων και λατάπων διαφόρων μεγεθών.

## 3. ΥΔΡΟΓΕΩΛΟΓΙΚΕΣ ΣΥΝΘΗΚΕΣ

Με βάση τις γεωλογικές δομές και από την ανάλυση των υδρομετερήσεων που συγκεντρώθηκαν συμπεραίνεται ότι:

- α) Στην ευρύτερη περιοχή της Καλαμάτας οι επιμέρους υδροφορίες που αναπτύσσονται εντός των Πλειοκανικών και Πλειστοκανικών σχηματισμών, καθώς και επείνες εντός των αιωνιστόλιθων, δεν είναι απομονωμένες μεταξύ τους, αλλά υπάρχει πλεινοκή τροφοδοσία των υδροφορών των κονκαρδών σχηματισμών από τις καρυτικές υδροφορίες. Αυτό επιβεβαιώνεται από την ανάγνωση των χάρτη των ισοπεδώματικών καμπυλών (σχ. 2), όπου οι υδραινήσεις κλίσεις παρουσιάζουν μια ομαλή μετάβαση από την υδροφορία των καρυτικών προς την υδροφορία των κονκαρδών σχηματισμών.
- β) Η υδραινή κλίση που προσεγγίζεται από την ανάλυση των ισοπεδώματων καμπυλών εντός της ζώνης των αιωνιστόλιθων και των νεογενών είναι 2% περίπου. Ενώ εντός της καρυτικής ζώνης, όπου η υδροφορία

**ΠΕΡΙΕΚΤΙΚΟΤΗΤΑ ΝΟ3-ΣΕ ΔΕΙΓΜΑΤΑ ΥΠΟΓΕΙΩΝ ΝΕΡΩΝ ΕΥΡΥΤΕΡΗΣ ΠΕΡΙΟΧΗΣ ΚΑΛΑΜΑΤΑΣ**

ΗΜΕΡ/ΝΙΑ ΔΕΙΓΜΑΤΟ- ΛΗΨΙΑΣ	ΥΔΡΟΣ ΗΜΕΙΟ	ΝΟ3- (ppm)														
Οκτ. 92	Φ1	24,8	Φ14	86,8	Φ27	24,8	Φ40	248	Γ53		Γ74	31	Φ87	111,6	Γ100	
Δεκ. 92		21,7		124		31		322,4				24,8		124		
Σεπτ. 95				136,4		19,84		218,86		217		9,3		155		1,24
Ιαν. 96		14,88		114,7		13,02		248		308,14				118,42		0
Οκτ. 92	Γ2	24,8	Φ15	93	Φ28	99,2	Φ41	198,4	Γ57		Γ75	1,24	Φ88	55,8		
Δεκ. 92		49,6		80,6		155		148,8				6,2		74,4		
Σεπτ. 95		31		78,12		86,8		111,6		68,2		9,3		75,02		
Ιαν. 96		48,98		109,12		155		98,58		21,7		7,44		34,72		
Οκτ. 92	Φ3	124	Φ16	279	Φ29	164,3	Φ42	155	Γ62		Γ76	24,8	Φ89	21,7		
Δεκ. 92		186		297,6		151,9		105,4				3,1		24,8		
Σεπτ. 95		108,5		285,2		142,6		210,8		18,6		15,5		24,8		
Ιαν. 96		120,9		341		282,1		156,24		0		0,62		8,68		
Οκτ. 92	Φ4	71,3	Φ17	86,8	Φ30		Φ43	96,72	Γ63		Γ77	0	Φ90	55,8		
Δεκ. 92		102,3		99,2				78,74				0		31		
Σεπτ. 95		108,5		93		20,46		105,4		3,1		0		77,5		
Ιαν. 96		76,88		108,5		21,7		71,92		0		4,34		14,88		
Οκτ. 92	Φ5	31	Φ18	229,4	Φ31	106,02	Φ44	0	Γ64		Γ78	6,2	Φ91	99,2		
Δεκ. 92		24,8		186		148,8		74,4				12,4		111,6		
Σεπτ. 95		34,1		220,1		155		122,14		49,6		9,3		155		
Ιαν. 96		21,7		197,78		213,28		115,94		28,52		1,86		85,56		
Οκτ. 92	Φ6	49,6	Φ19	111,6	Φ32	43,4	Φ45	136,4	Γ65	12,4	Γ79	12,4	Φ92	49,6		
Δεκ. 92		55,8		99,2		49,6		124		15,5		12,4		52,7		
Σεπτ. 95		93		108,5		46,5		77,5		6,2		9,3		77,5		
Ιαν. 96		119,66		125,86		41,54		70,68		0		4,96		83,08		
Οκτ. 92	Φ7	0	Φ20	62	Φ33	223,2	Φ46	119,04	Γ66		Γ80	34,1	Γ93	49,6		
Δεκ. 92		6,2		18,6		198,4		117,8				49,6		49,6		
Σεπτ. 95		0		46,5		226,3		115,94		0		74,4		93		
Ιαν. 96		1,86		42,16		339,14		173,6		0,62		39,06		41,54		
Οκτ. 92	Φ8	62	Φ21		Φ34		Φ47		Γ67		Γ81		Γ94	37,2		
Δεκ. 92		55,8												24,8		
Σεπτ. 95		52,7		117,8		489,8		173,6		9,3		2,48		49,6		
Ιαν. 96		58,9		106,64		430,9		212,66		4,34		0		35,96		
Οκτ. 92	Φ9	124	Φ22	52,7	Φ35	49,6	Φ48	79,36	Γ68		Γ82		Γ95	49,6		
Δεκ. 92		155		43,4		68,2		78,74						24,8		
Σεπτ. 95		127,1		80,6		155		87,42		0		3,1		37,2		
Ιαν. 96		228,16		59,52		198,4		128,96		0,62		4,96		11,78		
Οκτ. 92	Φ10	55,8	Φ23	136,4	Φ36	68,2	Φ49	49,6	Φ70	0	Γ83		Γ96			
Δεκ. 92		43,4		9,3		117,8		80,6		0						
Σεπτ. 95		58,9				53,94		117,8		15,5		18,6		0,62		
Ιαν. 96		88,04		218,86		288,3		120,9		12,4		9,3		0,62		
Οκτ. 92	Φ11	155	Φ24	446,4	Φ37		Γ50		Γ71	124	Φ84	6,2	Φ97	55,8		
Δεκ. 92		192,2		223,2						113,46		1,24		49,6		
Σεπτ. 95		198,4		316,2		185,38		155		49,6		9,3		49,6		
Ιαν. 96		169,26				235,6		204,6		81,84		10,54		43,4		
Οκτ. 92	Φ12	124	Φ25		Φ38	117,8	Γ51		Γ72	0	Φ85	12,4	Φ98	62		
Δεκ. 92		148,8				99,2				1,24		24,8		115,32		
Σεπτ. 95		172,98		35,34		114,7		12,4		27,9		21,7		83,7		
Ιαν. 96		136,4		39,68		103,54		6,82		26,04		18,6		32,86		
Οκτ. 92	Φ13	186	Φ26	6,2	Φ39	43,4	Φ52		Γ73	3,1	Φ86	269,7	Γ99	161,2		
Δεκ. 92		403		18,6		43,4				3,1		279		155		
Σεπτ. 95		155		0,62		37,2		517,08		21,7		235,6		192,2		
Ιαν. 96		359,6		17,36		37,2		308,14		5,58		122,14		164,92		

Φ·φρέατα  
Γ·γεωτρήσεις

Ψηφιακή Βιβλιοθήκη "Θεόφραστος" - Τμήμα Γεωλογίας. Α.Π.Θ.

ιναπτύσσονται σε πλειστοκαυνικές και ολοκαυνικές αποθέσεις, η υδραυλική κλίση εξασθενεί και υποδηλώνει ότι επιχρωτούν ουνθήκες περιφριμένης κίνησης, σχεδόν στασιμότητας του υπόγειου νερού.

#### 4. ΓΕΝΙΚΑ ΥΔΡΟΧΗΜΙΚΑ ΧΑΡΑΚΤΗΡΙΣΤΙΚΑ ΤΩΝ ΥΠΟΓΕΙΩΝ ΝΕΡΩΝ

Ελήφθησαν δείγματα νερού από 92 ιδροοικεία (σχ.1). Με βάση το διάγραμμα Piper οι υδροχημικοί χαρακτήρες των υπόγειων νέρων της περιοχής ενδιαφέροντος κατανέμονται μεταξύ των "χλωριούχων - θειών - αιθεούχων - μαγνητούχων και δισανθρακικών - αιθεούχων - μαγνητούχων" (σχ.3).

Από την κατανομή των υδροχημικών χαρακτήρων των δειγμάτων στο διάγραμμα Piper προκύπτουν τρεις ομαδοποιήσεις. Η πρώτη ομάδα κατανέμεται στο "πεδίο" των χλωριούχων - θειών - αιθεούχων και μαγνητούχων νερών. Η δεύτερη ομάδα δειγμάτων συγχεντρώνεται στο "πεδίο" των δισανθρακικών μαγνητούχων και η τρίτη βρίσκεται στα δύο των "πεδίων" δισανθρακικών μαγνητούχων - δισανθρακικών αιθεούχων. Η τελευταία ομάδα αντιπροσωπεύει ως επί το πλείστον ιδροοικεία εκτός αισικής ζώνης και απομακρυνόμενα από την επτογιγαντιά. Αντίθετα η πρώτη και η δεύτερη ομάδα περιλαμβάνει δείγματα από ιδροοικεία ως επί το πλείστον από την αισική ζώνη όπου εντοπίζονται και οι μεγαλύτερες επιβαρύνσεις οπην ποιότητα των υπόγειων νερών.

#### 5. ΠΙΟΤΙΚΑ ΧΑΡΑΚΤΗΡΙΣΤΙΚΑ ΤΩΝ ΥΠΟΓΕΙΩΝ ΝΕΡΩΝ

Πρωγματοπήκοραν τέσσερις σειρές δειγματοληψιών και ισάριθμων υδροχημικών αναλύσεων. Η πρώτη και η δεύτερη σειρά των Οχτώβδιο και των Δεκαέμβριο του 1992, η τρίτη και η τέταρτη σειρά των Σεπτέμβριο 1995 και των Ιανουαρίου 1996.

Οι αναλύσεις έγιναν σε δείγματα που ελήφθησαν από 92 ιδροοικεία του δικτύου και προσδιορίστηκαν οι τιμές σε τρεις δείκτες ωρίμανσης:  $\text{NO}_3^-$ ,  $\text{NO}_2^-$ ,  $\text{NH}_4^+$ , οι οποίοι έχουν γενικό χαρακτήρα και παρουσιάζουν ως γνωστόν μεγάλη κινητικότητα μέσα στο υπόγειο νερό.

##### ΠΙΝ. II περιεκτικότητα $\text{NO}_3^-$ - σε δείγματα υπόγειων νερών ευρύτερης περιοχής Καλαμάτας

ΚΩΔ. ΔΕΙΓΜΑΤΟΣ	ΗΜ/ΝΙΑ ΔΕΙΓ/ΨΙΑΣ	$\text{NO}_3^-$ (ppm)
Γ107	Οκτ-96	<1,86
Γ108	Οκτ-96	<1,86
Γ109	Οκτ-96	<1,86
Γ110	Οκτ-96	<1,86
Γ111	Οκτ-96	<1,86
Γ112	Οκτ-96	48,36
Γ118	Οκτ-96	1,24
Γ113	Οκτ-96	96,72
Γ114	Οκτ-96	<1,86
Γ115	Οκτ-96	<1,86
Γ116	Οκτ-96	<1,86
Γ117	Οκτ-96	8,68
Γ120	Οκτ-96	<1,86
Γ124	Οκτ-96	<1,86
Γ107	Μαρ-97	<1,86
Γ108	Μαρ-97	39,68
Γ109	Μαρ-97	<1,86
Γ110	Μαρ-97	<1,86
Γ111	Μαρ-97	<1,86
Γ112	Μαρ-97	52,7
Γ113	Μαρ-97	79,36
Γ114	Μαρ-97	<1,86
Γ115	Μαρ-97	<1,86
Γ116	Μαρ-97	<1,86
Γ117	Μαρ-97	3,72
Γ118	Μαρ-97	8,06
Γ119	Μαρ-97	0,62
Γ120	Μαρ-97	11,16
Γ121	Ψηφιακή Βιβλιοθήκη "Θεόφραστος" - Τμήμα Γεωλογίας ΜΑΠΘ.	
Γ124	Μαρ-97	8,68

Από όλα αυτά το πλήθος των 273 αναλύσεων (ΠΙΝ. I) προκύπτει ότι:

- α) Επιβαρύνσεις από  $\text{NO}_3^-$  εντοπίστηκαν σε ελάχιστα δείγματα, σποραδικά. Ο δε τρόπος εμφάνισης των ιποδηλώνει ότι δεν υπάρχουν μόνιμες εστίες μόλυνσης. Το χαμηλότερο επίπεδο ανίχνευσης στις αναλύσεις των δειγμάτων ήταν 0,015 mg/l.
- β) Το  $\text{NH}_4^+$  δεν εντοπίστηκε σε κανένα δείγμα νερού με χαμηλότερο επίπεδο εργαστηριακής ανίχνευσης 0,007 mg/l.
- γ) Τα  $\text{NO}_2^-$  έχουν έντονη παρουσία στα υπόγεια νερά ιδιαίτερα στην αισική ζώνη της Καλαμάτας, όπου οι τιμές ξεπερνούν τα 100 mg/l σε ώλα τα δείγματα νερού δύο των περιόδων δειγματοληψίας.

##### ΠΙΝ. III περιεκτικότητα $\text{NO}_3^-$ - σε δείγματα επιφανειακών νερών ευρύτερης περιοχής Καλαμάτας

ΚΩΔ. ΔΕΙΓΜΑΤΟΣ	ΗΜ/ΝΙΑ ΔΕΙΓ/ΨΙΑΣ	$\text{NO}_3^-$ (ppm)
60	Οκτ-96	<1,86
61	Οκτ-96	<1,86
105	Οκτ-96	6,2
106	Οκτ-96	<1,86
102	Οκτ-96	1,86
103	Οκτ-96	<1,86
104	Οκτ-96	<1,86
60	Μαρ-97	<1,86
61	Μαρ-97	<1,86
102	Μαρ-97	<1,86
103	Μαρ-97	<1,86
104	Μαρ-97	8,68
60	Μαρ-97	<1,86
61	Μαρ-97	<1,86
102	Μαρ-97	<1,86
103	Μαρ-97	<1,86
104	Μαρ-97	8,68
105	Μαρ-97	6,82

Ενώ πάνω από το δίσιο των 50 mg/l βρίσκονται οι τιμές αρχετόνων δειγμάτων από υδροσημεία της περιαστικής ζώνης της Καλαμάτας. Κάτι ανάλογο έχει επισημανθεί και σε παλαιότερες ανάλογες ερευνητικές εργασίες (ΛΑΜΠΡΑΚΗΣ- ΤΗΝΙΑΚΟΣ- ΛΑΖΑΡΟΥ- ΚΑΛΛΕΡΓΗΣ, 1997).

Ελάχιστα υδροσημεία από τον κάναβο, ο οποίος χρησιμοποιήθηκε είναι εντελώς απαλλαγμένα από την παρουσία  $\text{NO}_3^-$ . Οι "καθαρές" περιοχές εντοπίζονται εκτός αισικής ζώνης. Πρόκειται για τις περιοχές βιορειδυτικά, βόρεια και ανατολικά της Καλαμάτας, αγροτικές, ημιαγροτικές και δασικές (σχ. 4). Στα υδροσημεία 107, 108, 109, 110, 111, 112, 113, 114, 115, 116, 120, 121, 123, 124, τα οποία βρίσκονται εκτός αισικής ζώνης της Καλαμάτας, οι δειγματοληψίες προεγματοποιήθηκαν τον Οκτώβριο 1996 και τον Απρίλιο 1997 (ΠΙΝ. II).

Αυτή η χρονική διαφοροποίηση σε ωρές με τις περιοδούς δειγματοληψίας των άλλων υδροσημείων (ΠΙΝ. I) δεν θα πρέπει να θεωρείται ουσιαστική στην εξισωτήριη συμπεριφορά των προς τις καθαρές περιοχές.

Στα υδροσημεία αυτά η παρουσία των  $\text{NO}_3^-$  είναι σχεδόν μηδενική εκτός του υδροσημείου 113, στο οποίο οι τιμές διατηρούνται πάνω από τα 70 mg/l.

Η έντονη και σταθερή παρουσία  $\text{NO}_3^-$  στα υπόγεια νερά της αισικής ζώνης της Καλαμάτας, απεικονίζεται σε δύο χάρτες (σχ. 4 και 5) διαφορετικών περιόδων, ξηρής και νωριής. Η ύπαντον αυτή πιθανά οφείλεται σε λύματα αισικής προέλευσης: απορροφητικούς βόλθρους, διαρροές δικτύου αποχέτευσης, απόρροψη λυμάτων στην επιφάνεια του εδάφους, παιδόλιο που λειτουργεί βιολογικός καθαρισμός.

Το μικρό βάθος των υδροφόρων, ο οποίος αναπτύσσεται εντός των πλειστοκαντικών αποθέσεων, ενοεί σημαντικά την κατεύδηση των ρύπων και προσφέρει ταπτόχρονα ένα υψηλό οξειδωτικό περιβάλλον για τις αξιούχες ενώσεις. Γι' αυτό και δεν υπάρχουν περιθώρια αιματωνιοποίησης. Απόδειξη ότι στις αγαλάνεις το  $\text{NH}_4^+$  βρίσκεται σε τιμές μη ανιχνεύομες ( $<0,007 \text{ mg/l}$ ) σε όλη τις δειγματα. Μια εξίσου σημαντική παρατήρηση είναι ότι η απονοία  $\text{NO}_3^-$  στις επιβαρυμένες με  $\text{NO}_3^-$  ζώνες, υποδηλώνει ότι δεν υπάρχει διαδικασία ελάττωσης του δινιαυγού οξειδωτικωγής, η οποία προσαλέει την σταδιακή "απονίτωση" ( $\text{NO}_3^- \rightarrow \text{NO}_2^- \rightarrow \text{N}_2$ ). Σ' αυτό συμβάλλει εκτός από το μικρό βάθος των υπόγειων νερού και η απονία συχνάντων αντλήσεων, διαδικασία η οποία θα διευκόλυνε την εξαέρωση του αέρά του. Εξάλλου οι αντλήσεις υπόγειων νερών είναι πολύ περιορισμένες επιβεβιαστέαι και από την απονία φαινομένων υφαλκύσωσης από θαλάσσια διεύδυνση (σχ.6), πλήρεις επενήνης η οποία οφείλεται σε φυσικά αίτια.

Η μεταφορά ρύπων μέσω των επιφανειακών απορροών από περιοχές πιο απομακρυμένες θα πρέπει να αποκλειστεί για δύο λόγους: πρώτον γιατί οι λεπτές ωπορροής εκτείνονται σε περιοχές όπου δεν υφίστανται αγροτικές καλλιέργειες, αλλά ούτε και αισικές δραστηριότητες και δεύτερον όλες οι δειγματοληψίες, οι οποίες προεγματοποιήθηκαν σε επιφανειακά νερά σε συγκεκριμένους σταθμούς παρασκόπου ημήνης (υδροσημεία 60, 61, 102, 103, 104, 105, 106) (σχ. 1) απέδειξαν ότι η παρουσία των  $\text{NO}_3^-$  είναι πολύ περιορισμένη έως μηδενική (ΠΙΝ. III).

## 6. ΣΥΜΠΕΡΑΣΜΑΤΑ

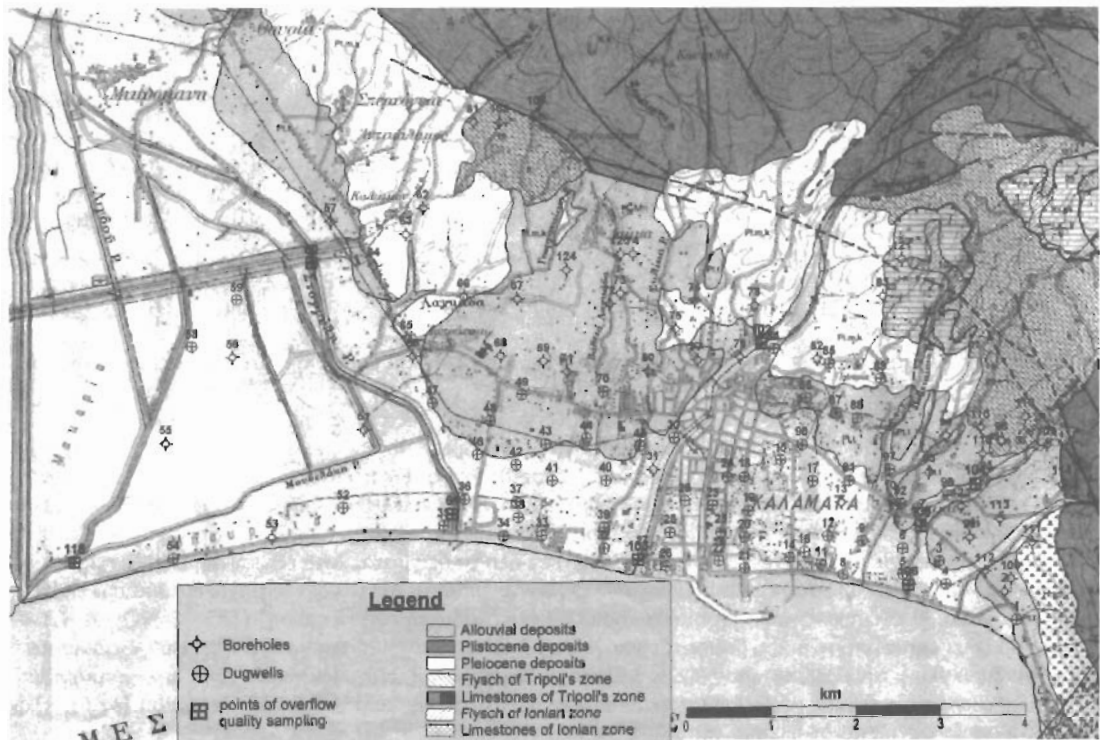
Οι υπόγειοι υδροφόροι στην αισική ζώνη Καλαμάτας δέχονται μία μόνιμη επιβάρυνση από αισικά λύματα, τα οποία καταλήγουν στα υπόγεια νερά είτε μέσω απορροφητικών βόλθρων και απολήσεών του δικτύου αποχέτευσης, είτε με κατεύδηση λόγω απόρροψης λυμάτων στην επιφάνεια του εδάφους.

Το γεγονός ότι οι τιμές των  $\text{NO}_3^-$ , διατηρούνται μόνιμα υψηλές σημαίνει ότι αφενός υφίστανται μόνιμες πηγές ρύπανσης και αφετέρου ότι οι διεργασίες αιτοσαθαρισμού των υπόγειων νερών είναι περιορισμένες.

Δεν παρατηρούνται φαινόμενα διαρροής μυστικών νερών, καί αυτό προκύπτει από τις ακανόνιστες διαφοροποιήσεις των τιμών των  $\text{NO}_3^-$ .

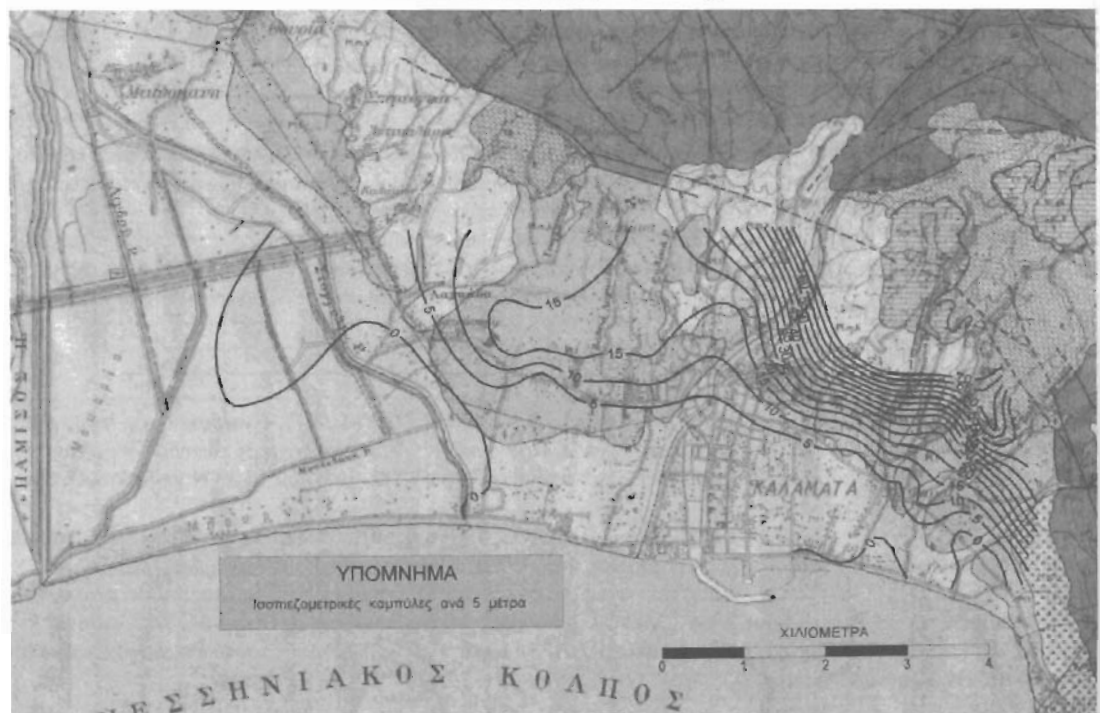
## ΒΙΒΛΙΟΓΡΑΦΙΑ

- ΛΑΜΠΡΑΚΗΣ, Ν., ΤΗΝΙΑΚΟΣ, Α., ΛΑΖΑΡΟΥ, Α., ΚΑΛΛΕΡΓΗΣ, Γ. (1997):** Νιτροφύτανον γεωλογικής προέλευσης υδροφόρων οριζόντων Πελοποννήσου. Πρακτικά 4<sup>ου</sup> Υδρογεωλογικού συνεδρίου με έμφαση σε θέματα ποιότητας και μόλυνσης-ρύπανσης του υπόγειου νερού. Σελ. 163-178, 14-16 Νοεμβρίου, Θεοπαλαιόνη.
- MARIOLOAKOS, I., FOUNTOULIS, I., LOGOS, E., LOZIOS, S. (1989):** Surface faulting caused by the Kalamata (Greece) earthquakes (13-9-86). Tectonophysics, 163, 197-203, Elsevier Sc. Publ. B.V., Amsterdam.
- ΦΥΤΡΟΛΑΚΗΣ, Ν. (1987) :** "Οι σεισμοτεκτονικές ουνθήκες στη Μεσσηνία και τα μετασεισμικά φαινόμενα των σεισμών της 13 Σεπτεμβρίου 1986". Μεταλλειολογικά - Μεταλλουργικά Χρονικά 64, 7-12, Αθήνα.
- ΨΩΝΗΣ, Κ. (1987) :** "Γεωλογικός χάρτης φύλλο ΚΑΛΑΜΑΤΑ, κλ. 1:50.000". Ινστιτούτο Γεωλογικών & Μεταλλευτικών Ερευνών. Αθήνα.



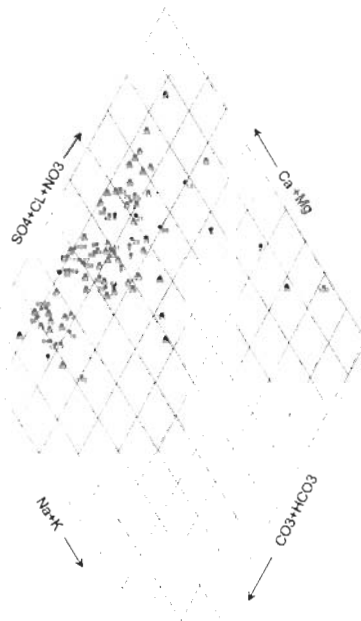
Σχ. 1 Γεωλογικός χάρτης και υδροσημεία παρακολούθησης

Fig. 1 Geological map and hydropoints of control



Ψηφιακή Εικόνα Μητρώου "Θεοφράστος" της Τάξης Γεωλογίας Α.Π.Θ.

Fig. 2 Map of equal-potential lines of January 1996

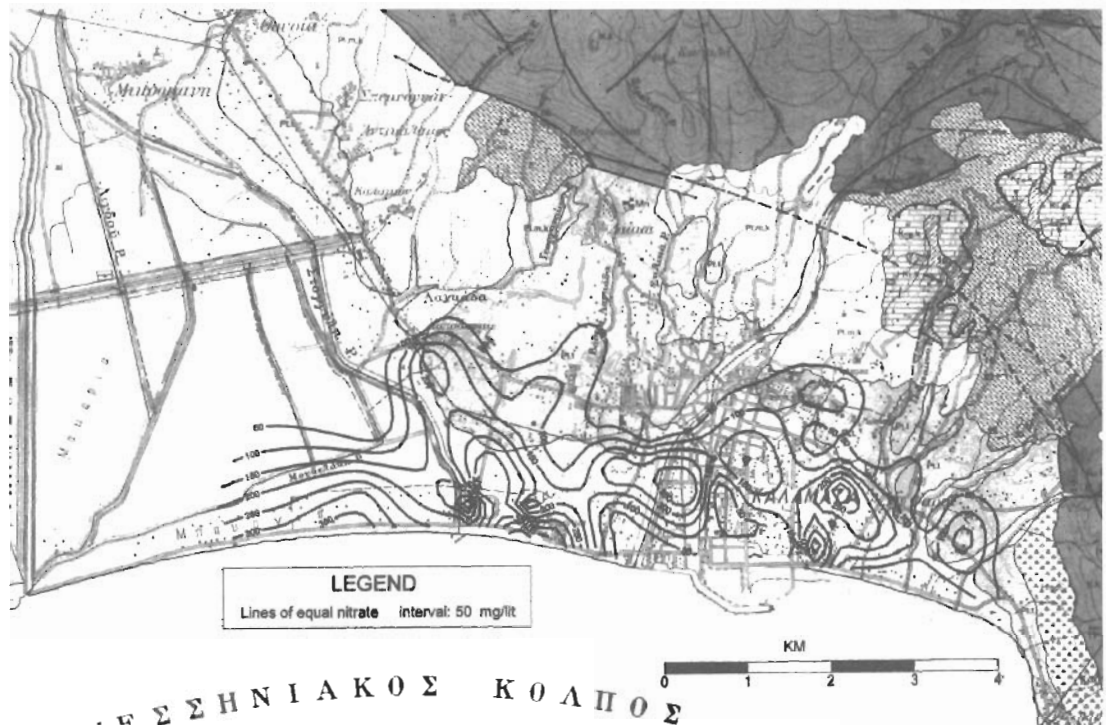


Ιχ. 3

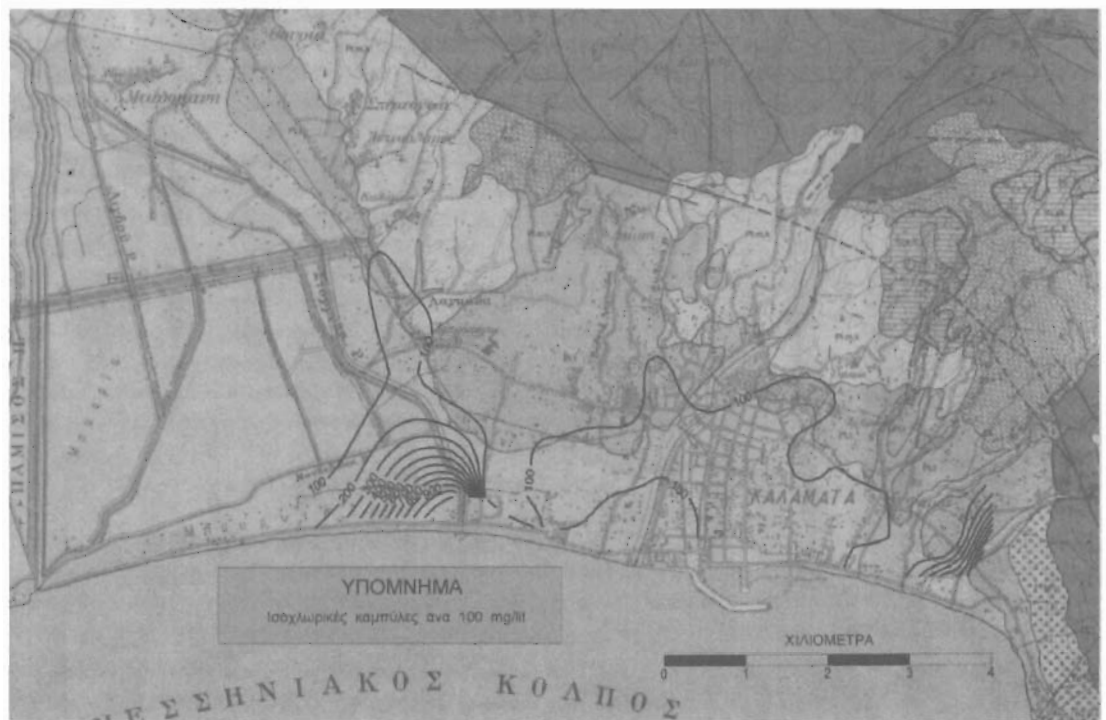
Σχ. 3. Ταξινόμηση δειγμάτων νερού από τους υπόγειους υδροφόρους ευρύτερης περιοχής Καλαμάτας.  
Fig.3. Sorting of water samples from aquifers of greater kalamata.



Σχ.4 Χάρτης ισονιτρικών καμπυλών περιόδου Σεπτεμβρίου 1995  
Ψηφιακή Βιβλιοθήκη "Θεόφραστος" - Τμήμα Γεωλογίας Α.Π.Θ.



Σχ. 5 Χάρτης ισονιτρικών καμπυλών περιόδου Ιανουαρίου 1996  
Fig. 5 Map of equal nitrate's lines (period: Januaryr 1996)



Σχ. 6 Χάρτης ισοχλώρων καμπυλών περιόδου Σεπτεμβρίου 1995  
Ψηφιακή/Βιβλιοθήκη Θερφραστούς (Τμήμα Γεωλογίας, Α.Π.Θ.)